

PC定着部の応力状態について

神戸大学工学部

正員 藤井 学

" 大学院〇学生員 稲村雄佑

" " " 和佐勇次郎

(1) まえがき

ポストテンションPC部材や橋脚等の支圧作用面付近では、強い圧縮力と剥離力が生ずる。この引張Kに対しては、弾性理論より得られた解に従って、材軸直角方向の補強筋が設計されている。一般にこれら理論解は2次元より得られたもの、ないしは3次元の近似解が用いられているが、荷重状態は3次元であり、現在では満足すべきものは得られていない。この定着部の応力状態、破壊状況を調べるために、載荷幅率 β 、補強筋の有無、切欠きの有無等を要因に選び、2次元の載荷実験を行なった。

(2) 実験計画

i) シリーズI

図-1に示すような載荷状態では、引張応力が材軸中央、および載荷板端附近に生ずる。シリーズIでは載荷幅率 β (載荷幅/供試体幅)の応力状態、およびひびわれ位置におよび影響について調べることを目的とした。供試体の形状、寸法を図-1に示す。 β は0.2, 0.3, 0.4, 0.5の4種、無筋コンクリートである。コンクリートの配合を表-1に示す。

試験時目標圧縮強度を 400 kg/cm^2 とした。試験時引張強度 f_{ck} を表-2に示す。

ii) シリーズII

本シリーズは剥離補強筋の効果を調べるためにもので、補強筋の設計にはBleichの解を用い、鉄筋の許容引張応力 f_{su} は 1400 kg/cm^2 、コンクリートの許容引張応力 f_{ck} は 16 kg/cm^2 とした。鉄筋径は 6 mm で、その形状を図-2に示す。他の要因はシリーズIと同一である。

iii) シリーズIII

本シリーズでは載荷板埋込みによる

切欠き効果を調べるために、図-3に示す供試体を用いた。 β は0.4, 0.5の2種、それと無筋、補強筋のものである。なお供試体K, L, Kは所定の剥離補強筋のほかに、切欠き部に中 6 mm

表-1. コンクリートの示方配合

粗骨材最大寸法(mm)	スラブ厚(cm)	W(kg/m^3)	C(kg/m^3)
10	5~10	206	480
W/C(%)	S/a(%)	S(kg/m^3)	G(kg/m^3)
43	34	550	1080

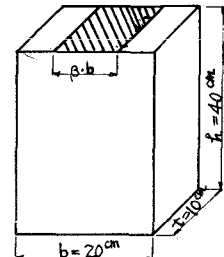


図-1. 供試体形状、寸法

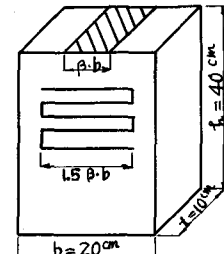


図-2. 供試体および鉄筋の形状、寸法

筋2本、載荷面より 1 cm の位置に設けた。補強筋の形状、寸法を図-3に示す。

なお供試体

	シリーズI				シリーズII				シリーズIII			
	A	B	C	D	E	F	G	H	I	J	K	L
β	0.20	0.30	0.40	0.50	0.20	0.30	0.40	0.50	0.40	0.50	0.40	0.50
Pcr	25.58	24.67	30.00	39.80	24.33	26.33	34.83	46.00	34.00	32.50	39.50	56.00
切欠き位置	center	center	center	corner	corner	corner	corner	corner	corner	corner	corner	corner
f_t	33.8	30.2	28.6	34.1	30.5	32.2	31.1	36.9	40.7	43.0	35.0	41.4

数はシリーズI, IIは各3個, シリーズIIIは各2個である。

(3) 実験結果

本実験で得られた結果を表-2に示す。表中記号の意味のことと意味する。

P_{cr} : ひびわれ荷重(ton), center: 柱中央の割裂応力によってひびわれたもの, corner: 載荷板端の31.5張耐力によってひびわれたもの。

(4) 考察

引張強度 σ_u にはしづきがある σ_u , 図-4に P_{cr}/σ_u

(ton/cm²)と β との関係を示す。 β が0.4と0.5の間で無筋の場合のひびわれ位置が変っている。さらにひびわれがcenterとcornerの場合の荷重はそれほど変わらないので、割裂補強だけでなく、cornerも補強しなければならない。表-3はひびわれがcenterの場合の各理論値と P_{cr} との比を示している。ここで理論値とは割裂耐力が既に達したときのひびわれが生ずるとして求めた。実験値はIyengerの理論値の約1.3倍であり、コンクリートの塑性を考慮すればよく一致している。一方 Bleich の約2倍は過大すぎると思われる。

割裂補強を行うと、cornerひびわれが発生し、このひびわれが破壊耐力を決定した。表-4はcornerひびわれをシリーズIIの P_{cr} と Iyenger の理論値との比較を示す。

ここで P_c は Iyenger の式を用いて計算した設計荷重である。 P_c は無筋と仮定してとての center ひびわれ荷重である。表-4より明らかのように、corner ひびわれのために、補強筋の効果は約10~20%の荷重上昇にすぎず、目標荷重 P_c の約65%であった。

表-5は切欠きによる P_{cr}/σ_u の変化を示している。切欠きにより、無筋の場合には、 P_{cr}/σ_u は切欠きのないものに比べて約3分の1となる。しかし切欠き部に補強筋を設けた場合には、比はほぼ1を示しており、切欠きによる影響はこの程度の鉄筋量で消ぐことができるものと思われるが、さらに荷重増加させるためにには、載荷面付近の補強が必要であろう。

(5) 結論

i) 本実験では、 β によってひびわれ位置が変化し、無筋の場合には $\beta \approx 0.5$ で center ひびわれが先にひびわれが生じた。

ii) 柱中心軸の割裂応力に対して、Bleichの解を用いて補強した場合、ひびわれは本実験に用いた β ではなくすべて corner でひびわれが発生した。

iii) 割裂補強した場合、cornerに生ずるひびわれのため、その耐力はその設計耐力の約65%にすぎなかった。

iv) 切欠きを設けることにより、cornerのひびわれ荷重は切欠き無しのものに比べて、その約3分の1に減った。

v) 以上より、割裂補強だけでなく、載荷板端に生ずる引張応力に対する補強を行なわなければ、補強効果はあまり望めないと考えられる。

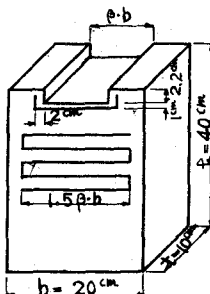


図-3. 供試体形状寸法.

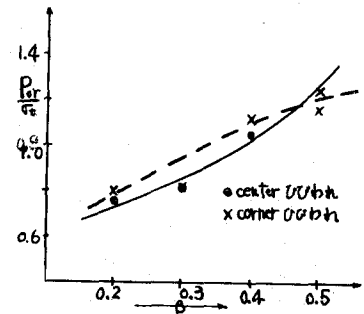


図-4. β と P_{cr}/σ_u の関係.

表-3. 理論値との比較

	A	B	C
Iyenger 値	1.30	1.28	1.30
Bleich 値	1.96	2.02	2.04

表-4. P_c と Iyenger の理論値との比較

	E	F	G	H
P_c (ton)	37.7	40.8	51.5	72.5
P_c (ton)	17.3	21.6	24.3	34.2
$d = P_c / P_{cr}$	0.645	0.645	0.676	0.634
$r = P_c / P_{cr}$	0.458	0.529	0.472	0.471

表-5 切欠きによる P_{cr}/σ_u の変化

切欠 きの 有無	無筋		補強筋	
	$\beta=0.4$	$\beta=0.5$	$\beta=0.4$	$\beta=0.5$
	P_{cr}/σ_u	P_{cr}/σ_u	P_{cr}/σ_u	P_{cr}/σ_u
無	1.26	1.17	1.12	1.25
有	0.84	0.76	1.13	1.35
比	1.50	1.54	0.99	0.93